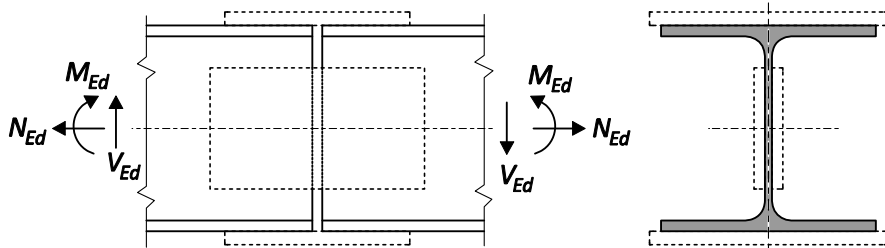


Zadatak 6 Konstruisati montažni nastavak nosača izvedenog od standardnog profila HEA 300 (EURNORM 53-62) pri čemu su veze ostvarene sa običnim, nepodešenim (neobrađenim) zavrtnjima klase čvrstoće 8.8. Nosač je deo konstrukcije koja je izrađena od materijala S235, a projektovana prema I slučaju opterećenja.

Na mestu nastavka nosač je izložen dejstvu sledećih opterećenja: $N_{Ed} = 20 \text{ kN}$ - aksijalna sila; $V_{Ed} = 50 \text{ kN}$ - transverzalna sila; $M_{Ed} = 12000 \text{ kNm}$ - moment savijanja.



Slika 6.1 Opterećenja nosača na mestu nastavka

Rešenje 6

6.1 Geometrijske karakteristike preseka nosača (HEA 300)

$$h = 290 \text{ mm}$$

$$b = 300 \text{ mm}$$

$$t_f = 14 \text{ mm}$$

$$t_w = 8,5 \text{ mm}$$

$$d = 208 \text{ mm}$$

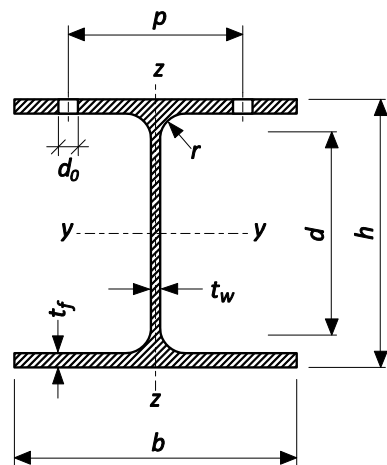
$$r = 27 \text{ mm}$$

$$A = 112,5 \text{ cm}^2$$

$$I_y = 18260 \text{ cm}^4$$

Preporučeni zavrtnji: M27

$$p = 118 \div 198 \text{ mm}$$



Konstrukciono, usvajaju se sledeće vrednosti:

$p = 180 \text{ mm}$ - rastojanje otvora na pojasevima

$d_o = 28 \text{ mm}$ - prečnik otvora za zavrtajanje na pojasu

6.2 Dokaz napona u nosaču

Neto površina preseka¹ iznosi

$$A_{net} = A - 2 \cdot 2 \cdot d_0 \cdot t_f - (h - 2t_f) t_w = 112,5 - 4 \cdot 2,8 \cdot 1,4 - (29 - 2 \cdot 1,4) 0,85 = 74,55 \text{ cm}^2$$

Neto moment inercije preseka² iznosi

$$I_{net} = I_y - \Delta I \equiv I_y - 2 \cdot d_0 \cdot t_f \left(\frac{h - t_f}{2} \right)^2 = 18260 - 2 \cdot 2,8 \cdot 1,4 \left(\frac{29 - 1,4}{2} \right)^2 = 18260 - 1493$$

$$\therefore I_{net} = 16767 \text{ cm}^4$$

Najveća vrednost normalnog napona u nosaču, na mestu nastavka, se dobija kao

$$\sigma_{max} = \frac{M_{Ed}}{I_{net}} \frac{h}{2} + \frac{N_{Ed}}{A_{net}} = \frac{12000}{16767} \frac{14,5}{2} + \frac{20}{74,55} = 10,37 + 0,27 \approx 10,6 \frac{\text{kN}}{\text{cm}^2}$$

Najveća vrednost tangencijalnog napona (po uprošćenoj raspodeli) u nosaču iznosi

$$\tau_{max,sr} = \frac{V_{Ed}}{A_w} = \frac{V_{Ed}}{(h - 2 \cdot t_f) t_w} = \frac{50}{(29 - 2 \cdot 1,4) 0,85} = 2,2 \frac{\text{kN}}{\text{cm}^2}$$

Dopušteni naponi iznose

$$\sigma_{dop} = \frac{f_y}{v} = \frac{23,5}{1,5} = 15,7 \frac{\text{kN}}{\text{cm}^2} \quad \text{i} \quad \tau_{dop} = \frac{f_y}{\sqrt{3} \cdot v} = \frac{23,5}{\sqrt{3} \cdot 1,5} = 9 \frac{\text{kN}}{\text{cm}^2}$$

gde su: $f_y = 23,5 \frac{\text{kN}}{\text{cm}^2}$ - napon tečenja za materijal S235

$v = v_l = 1,5$ - stepen sigurnosti za I slučaj opterećenja

Kako su

$$\sigma_{max} = 10,6 \frac{\text{kN}}{\text{cm}^2} < \sigma_{dop} = 15,7 \frac{\text{kN}}{\text{cm}^2}$$

$$\tau_{max,sr} = 2,2 \frac{\text{kN}}{\text{cm}^2} < \tau_{dop} = 9 \frac{\text{kN}}{\text{cm}^2}$$

parcijalni (i dovoljni) uslovi dokaza čvrstoće su zadovoljeni.

¹ S obzirom na to da je presek oslabljen jer se buše otvor za zavrtnje na pojasevima, mora se izračunati neto površina preseka aksijalno zategnutog nosača. Kako raspored zavrtnjeva na rebru nije poznat moguće je isključiti njegovu površinu iz proračuna, a što je na strani sigurnosti.

² Za određivanje neto vrednosti momenta inercije preseka uzima se u obzir samo slabljenje zategnutog pojasa, a zanemaruje se pomeranje neutralne ose usled nesimetričnog slabljenja nosača zbog veoma malog uticaja na tačnost proračuna.

6.3 Raspodela opterećenja na elemente preseka nosača

Moment savijanja nosača se deli na moment na rebru M_{reb} i moment u pojasevima M_{poj} , srazmerno momentima inercije tih delova preseka:

$$I_w = \frac{1}{12} (h - 2 \cdot t_f)^3 t_w = \frac{1}{12} (29 - 2 \cdot 1,4)^3 \cdot 0,85 = 1274 \text{ cm}^4$$

$$I_f = I_y - I_w = 18260 - 1274 = 16986 \text{ cm}^4$$

$$M_{reb} = M_{Ed} \frac{I_w}{I} = 12000 \frac{1274}{18260} = 837 \text{ kNm}$$

$$M_{poj} = M_{Ed} - M_{reb} = 12000 - 837 = 11163 \text{ kNm}$$

Raspodela aksijalne sile na rebro i pojaseve se vrši srazmerno njihovim površinama pa se aksijalna sila na rebru N_{reb} i aksijalna sila na pojasevima N_{poj} dobijaju prema sledećem:

$$A_w = (h - 2 \cdot t_f) t_w = (29 - 2 \cdot 1,4) \cdot 0,85 = 22,27 \text{ cm}^2$$

$$A_f = A - A_w = 112,5 - 22,27 = 90,2 \text{ cm}^2$$

$$N_{reb} = N_{Ed} \frac{A_w}{A} = 20 \frac{22,27}{112,5} \cong 4 \text{ kN}$$

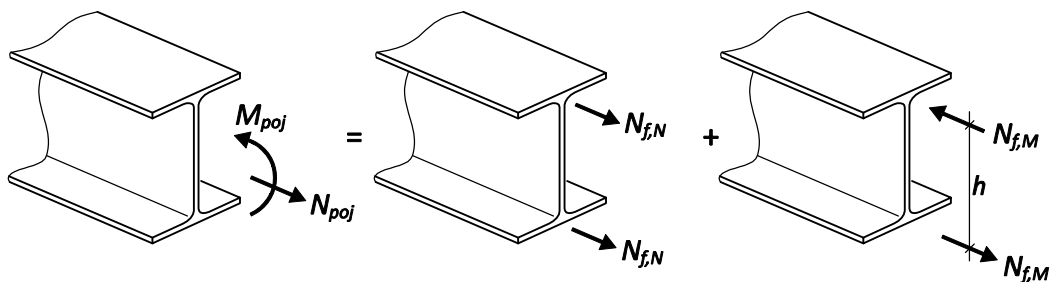
$$N_{poj} = N_{Ed} - N_{reb} = 20 - 4 = 16 \text{ kN}$$

Može se usvojiti (a što je na strani sigurnosti) da celu transverzalnu silu nosi samo rebro nosača:

$$V_{reb} = V_{Ed} = 50 \text{ kN}$$

6.4 Proračun i konstruisanje zavrtanjske veze na pojasu

Proračun podvezica na pojasevima se vrši saglasno dejstvu odgovarajuće aksijalne sile i momenta savijanja, slika 6.2.



Slika 6.2 Raspodela opterećenja na pojasevima

Zadatak 6

Aksijalna sila po jednom pojusu iznosi

$$N_{f,N} = \frac{N_{poj}}{2} = \frac{16}{2} = 8 \text{ kN}$$

Moment savijanja koji prenose pojasevi M_{poj} se zamenjuje ekvivalentnim spregom sila. Sile koje čine ovaj spreg se određuju na osnovu sledećeg izraza

$$N_{f,M} = \frac{M_{poj}}{h} = \frac{11163}{29} = 385 \text{ kN}$$

Proračun podvezice se ovde vrši za zategnutu zonu jer se sabiraju uticaji pomenutih aksijalnih sila pa merodavna sila iznosi

$$N_f = N_{f,M} + N_{f,N} = 385 + 8 = 393 \text{ kN}$$

Dimenzionisanje podvezice se vrši prema sledećem uslovu

$$\frac{N_f}{A_{zp}} \leq \sigma_{dop}$$

gde je A_{zp} neto površina preseka zategnute podvezice. Odnosno, imamo sledeće

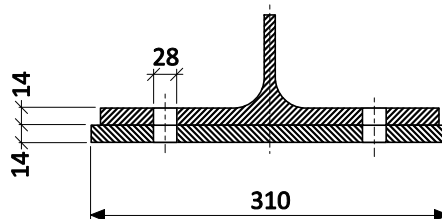
$$A_{zp} \geq \frac{N_f}{\sigma_{dop}} = \frac{393}{15,7} = 25 \text{ cm}^2$$

Konstrukciono se usvaja da je širina podvezice b_p nešto veća od širine pojasa:

$$b_p = b + (5 \div 10) = 300 + (5 \div 10) \text{ mm} \quad \rightarrow \quad b_p = 310 \text{ mm}$$

Potrebna debljina podvezice³ na pojasevima t_p se sada može odrediti na osnovu sledećeg izraza:

$$t_p > \frac{A_{zp}}{b_p - 2 \cdot d_0} = \frac{25}{31 - 2 \cdot 2,8} = 0,98 \text{ cm} \quad \rightarrow \quad t_p = 14 \text{ mm}$$



Slika 6.3 Detalj podvezice na zategnutom pojusu

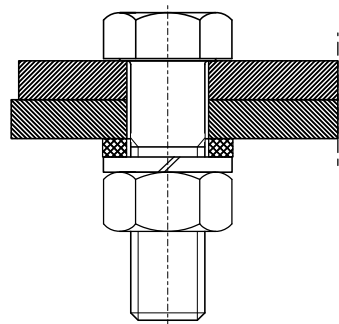
³ Preporuka je da debljina podvezice na pojasevima, kod jednostranih podvezica, bude jednaka debljini samog pojasa. Ovo se može opravdati time da se ostvaruje rezerva u kontroli napona u istoj meri kao i u samom nosaču, a posebno što debljina podvezice utiče na proračun zavrtnja na kontaktni pritisak, a samim tim i na broj zavrtnjeva.

Za podvezicu na pritisnutom pojusu, usvaja se ista debljina lima zbog unifikacije elemenata.

Debljina paketa koji se spajaju iznosi $t_f + t_p = 28 \text{ mm}$, pa se na osnovu standarda SRPS EN ISO 4014 usvaja dužina zavrtnja od 90 mm koja obezbeđuje da navoj bude van paketa limova (jer je navojni deo zavrtnja $b = 60 \text{ mm}$).

Usvajaju se sledeći zavrtnji za vezu na pojasevima:

M27x90...8.8 SRPS EN ISO 4014.



Zavrtanska veza na pojasevima predstavlja smičući spoj. Za usvojene zavrtnje, mogu se očitati (Prilog, Tabela G.5) sledeći dopušteni naponi:

$$\sigma_{b,dop} = 27 \frac{\text{kN}}{\text{cm}^2} \quad \text{- za kontaktni pritisak}$$

$$\tau_{dop} = 22,4 \frac{\text{kN}}{\text{cm}^2} \quad \text{- za smicanje}$$

Nosivost zavrtnja na smicanje je

$$F_v = A \cdot \tau_{dop} = \frac{d^2 \pi}{4} \cdot \tau_{dop} = \frac{2,7^2 \pi}{4} 22,4 \approx 128 \text{ kN}$$

Nosivost zavrtnja na kontaktni pritisak iznosi

$$F_b = d \cdot (\sum t)_{\min} \cdot \sigma_{b,dop} = 2,7 \cdot 1,4 \cdot 27 = 102 \text{ kN}$$

Merodavna nosivost jednog zavrtnja u predmetnom smičućem spoju je

$$F_\tau = \min\{F_v, F_b\} = 102 \text{ kN}$$

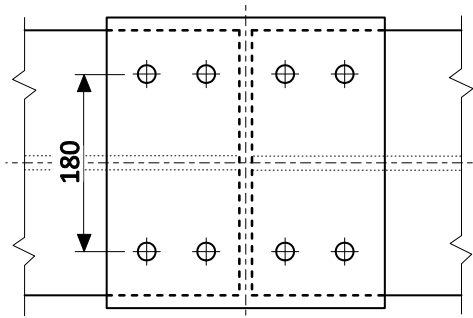
Potreban broj zavrtnjeva za prenošenje merodavne aksijalne sile iznosi

$$n = \frac{N_f}{F_\tau} = \frac{393}{102} = 3,85$$

Usvaja se prvi veći paran broj vijaka, tj.

$$n = 4 = 2 \cdot 2,$$

odnosno 8 po priveznici na pojusu.



6.5 Proračun i konstruisanje zavrtanske veze na rebru

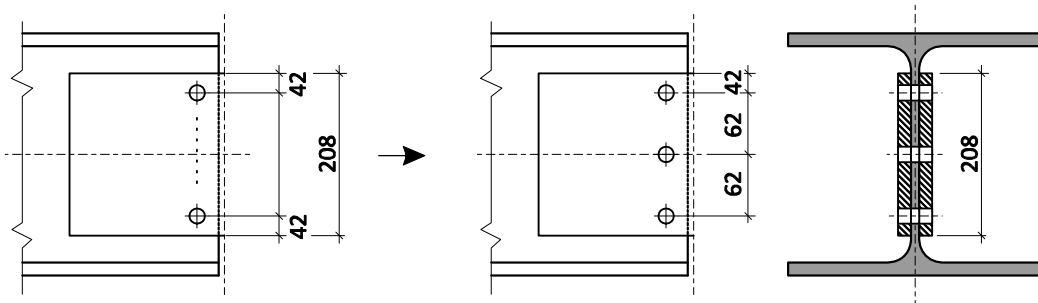
Rebro se uvek nastavlja simetričnim, obostranim podvezicama, koje se postavljaju po čitavoj raspoloživoj visini (d). Odnosno, širina podvezice na rebru iznosi

$$b_{p,r} = d = 208 \text{ mm}$$

Za zavrtansku vezu na rebru usvajaju⁴ se zavrtaji M20, sa otvorom $d_0 = 21 \text{ mm}$.

Prvo se određuje raspored zavrtnjeva u jednoj *koloni* prema minimalnim rastojanjima po pravilima konstruisanja zavrtanskih veza (Prilog, Tabela G.3). Nakon usvajanja rastojanja krajnjih zavrtnjeva, gde je $e_1 = 2 \cdot d_0 = 42 \text{ mm}$, mogući broj zavrtnjeva u koloni⁵ se može odrediti na osnovu sledećeg izraza

$$m_{mog} = 1 + \frac{b_{p,r} - 2 \cdot e_1}{3 \cdot d_0} = 1 + \frac{208 - 2 \cdot 42}{63} = 2,96 \approx 3$$



Slika 6.4 Veza na rebru-raspored zavrtnjeva po visini (u koloni)

Neto površina rebra⁶ iznosi

$$A_{w,net} = A_w - 3 \cdot d_0 \cdot t_w = 22,27 - 3 \cdot 2,1 \cdot 0,85 = 16,91 \text{ cm}^2$$

Uobičajeno je da se minimalna vrednost površine preseka podvezice na rebru usvoji kao neto površina rebra, pa se debljina podvezice može odrediti na sledeći način

$$t_{p,r} > \frac{A_{w,net}}{b_{p,r}} = \frac{16,91}{20,8} = 0,81 \text{ cm} \quad \rightarrow \quad t_{p,r} = 10 \text{ mm}$$

⁴ Zavrtanj na rebru je uglavnom manji od zavrtinja na pojasu za jednu ili dve veličine.

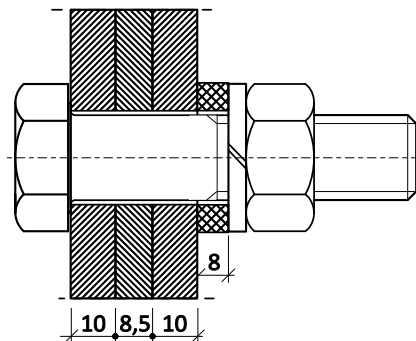
⁵ Pri korišćenju ovog izraza potrebno je ići na manji ceo broj, osim kada je razlika do bližeg celog broja najviše 10 %.

⁶ Kod nastavaka nosača koji su dominantno zategnuti, što ovde nije slučaj, potrebno je izvršiti kontrolu napona u rebru s obzirom na slabljenje rebra usled bušenja otvora.

Debljina paketa na rebru iznosi $t_{p,r} + t_w + t_{p,r} = 28,5$ mm, pa se na osnovu standarda SRPS EN ISO 4014 usvaja dužina zavrtnja od 80 mm koja obezbeđuje da navoj bude van paketa limova (jer navojni deo zavrtnja M20 iznosi $b = 46$ mm).

Usvajaju se sledeći zavrtnji za vezu na rebru:

M20x80...8.8 SRPS EN ISO 4014.



Zavrtanska veza na rebru predstavlja smičući spoj. Za usvojene zavrtnje, mogu se očitati (Prilog, Tabela G.5) sledeći dopušteni naponi:

$$\sigma_{b,dop} = 27 \frac{\text{kN}}{\text{cm}^2} \text{ - za kontaktni pritisak}$$

$$\tau_{dop} = 22,4 \frac{\text{kN}}{\text{cm}^2} \text{ - za smicanje}$$

Sada je potrebno odrediti broj kolona- k u zavrtanskoj vezi na rebru. Kao orijentacioni pokazatelj broja kolona mogu se iskoristiti izrazi⁷ u nastavku.

Maksimalni broj kolona zavrtnjeva na podvezici rebra prema kriterijumu smicanja iznosi

$$k_\tau = 1 + \frac{V_{reb} + \frac{M_{reb}}{3 \cdot d_0}}{d^2 \pi \cdot \tau_{dop}} = 1 + \frac{50 + \frac{837}{3 \cdot 2,1}}{2^2 \pi \cdot 22,4} = 1,64$$

Maksimalni broj kolona zavrtnjeva na podvezici rebra prema kriterijumu kontaktnog pritiska iznosi

$$k_{\sigma_b} = 1 + \frac{V_{reb} + \frac{M_{reb}}{3 \cdot d_0}}{2 \cdot d (\sum t)_{\min} \cdot \sigma_{b,dop}} = 1 + \frac{50 + \frac{837}{3 \cdot 2,1}}{2 \cdot 2 \cdot 0,85 \cdot 27} = 2,98$$

Za konačan dokaz zavrtanske veze na rebru usvaja se, u prvoj iteraciji⁸, broj kolona $k = 2$.

Za razmak između kolona usvaja se rastojanje od 70 mm.

⁷ Prikazani izrazi su izvedeni kao približan broj potrebnih kolona, za slučaj kada je uticaj aksijalne sile zanemarljiv u odnosu na transverzalnu silu.

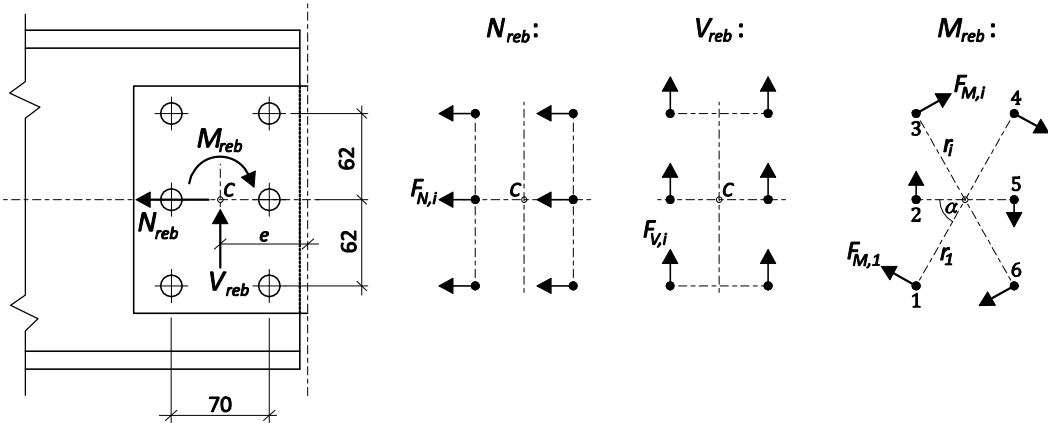
⁸ Iako je sigurnije u ovom slučaju usvojiti $k = 3$, prikazani izrazi daju orijentacione vrednosti na strani sigurnosti, pa je potrebno dati šansu smanjenju bušačkih radova ako to konačni proračun verifikuje.

Zadatak 6

Konačni proračun zavrtanske veze na rebru

Uticaj opterećenja na zavrtansku vezu na rebru se proračunava sa prethodno određenim vrednostima (slika 6.5): $N_{reb} = 4 \text{ kN}$; $V_{reb} = 50 \text{ kN}$; $M_{reb} = 837 \text{ kNm}$, pri čemu se opterećenja redukuju⁹ u težište veze C.

Usled dejstva ovih opterećenja, u svakom zavrtnjusu se javljaju smičuće sile $F_{N,i}$, smičuće sile $F_{V,i}$ i odgovarajuća smičuća sila od momenta $F_{M,i}$.



Slika 6.5 Proračun zavrtanske veze na rebru

Smičuća sila od aksijalne sile iznosi

$$F_{N,i} = \frac{N_{reb}}{6} = \frac{4}{6} = 0,67 \text{ kN}$$

Smičuća sila od transverzalne sile iznosi

$$F_{V,i} = \frac{V_{reb}}{6} = \frac{50}{6} = 8,33 \text{ kN}$$

Smičuće sile usled dejstva momenta se računaju prema *metodi polarnog momenta*:

$$r_1 = r_3 = r_4 = r_6 = \sqrt{6,2^2 + 3,5^2} = 7,12 \text{ cm}, \quad r_2 = r_5 = 3,5 \text{ cm}, \\ \sum r_i^2 = 4 \cdot 7,12^2 + 2 \cdot 3,5^2 = 227,3 \text{ cm}^2$$

$$F_{M,1} = \frac{M_{reb}}{\sum r_i^2} r_1 = \frac{837}{227,3} 7,12 = 26,2 \text{ kN} = F_{M,3} = F_{M,4} = F_{M,6}$$

$$F_{M,2} = \frac{M_{reb}}{\sum r_i^2} r_2 = \frac{837}{227,3} 3,5 = 12,9 \text{ kN} = F_{M,5}$$

⁹ Nominalno, opterećenja su zadata na mestu nastavka, pa je kod veza sa malim brojem kolona moguće zanemariti uticaj ekcentriciteta e . U suprotnom, potrebno je momentu na rebru dodati moment ekcentriciteta $M_e = V \cdot e$ (što bi se, u ovom slučaju, odnosilo na desni deo nastavka).

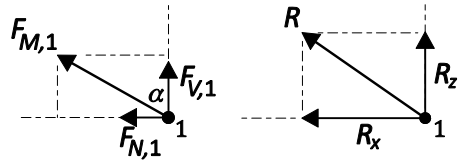
Rezultujuća sila u svakom zavrtnju se može odrediti prema sledećem

$$\vec{R}_i = \vec{F}_{N,i} + \vec{F}_{V,i} + \vec{F}_{M,i}$$

Najveća rezultujuća sila¹⁰, u ovom slučaju, je sila u zavrtnju broj 1:

$$R_1 = R_{\max} = R$$

$$\begin{aligned} \operatorname{tg} \alpha &= \frac{6,2}{3,5} = 1,77 \\ \therefore \alpha &= 60,55^\circ \end{aligned}$$



$$R_x = F_{M,1} \sin \alpha + F_{N,1} = 26,2 \cdot \sin 60,55^\circ + 0,67 = 23,5 \text{ kN}$$

$$R_z = F_{M,1} \cos \alpha + F_{V,1} = 26,2 \cdot \cos 60,55^\circ + 8,33 = 21,2 \text{ kN}$$

$$R = \sqrt{R_x^2 + R_z^2} = \sqrt{23,5^2 + 21,2^2} = 31,6 \text{ kN}$$

Nosivost zavrtnja na smicanje iznosi

$$F_v = 2 \cdot A \cdot \tau_{dop} = 2 \cdot \frac{d^2 \pi}{4} \cdot \tau_{dop} = 2 \frac{2^2 \pi}{4} 22,4 \approx 140 \text{ kN}$$

Nosivost zavrtnja na kontaktni pritisak iznosi

$$F_b = d \cdot (\sum t)_{\min} \cdot \sigma_{b,dop} = 2 \cdot 0,85 \cdot 27 = 45,9 \text{ kN}$$

Merodavna nosivost predmetnog zavrtnja iznosi

$$F_\tau = \min\{F_v, F_b\} = 45,9 \text{ kN}$$

Kako je

$$R = 31,6 \text{ kN} < F_\tau = 45,9 \text{ kN}$$

dokaz sigurnosti zavrtanske veze na rebru je zadovoljen.

¹⁰ Generalno, najveća rezultujuća sila se javlja u najudaljenijim zavrtnjima. Kada nije lako uočljivo (prema pravilu o sabiranju vektora) koji je zavrtanj najopterećeniji, potrebno je izvršiti proračun rezultujućih sila za karakteristične zavrtne, pa tako odrediti najveću.

1

2

3

4

1

2

3

4

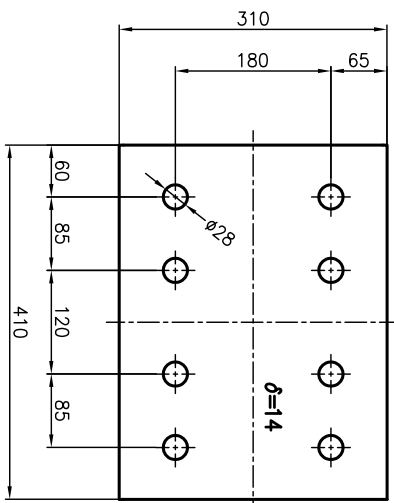
A

B

C

D

E



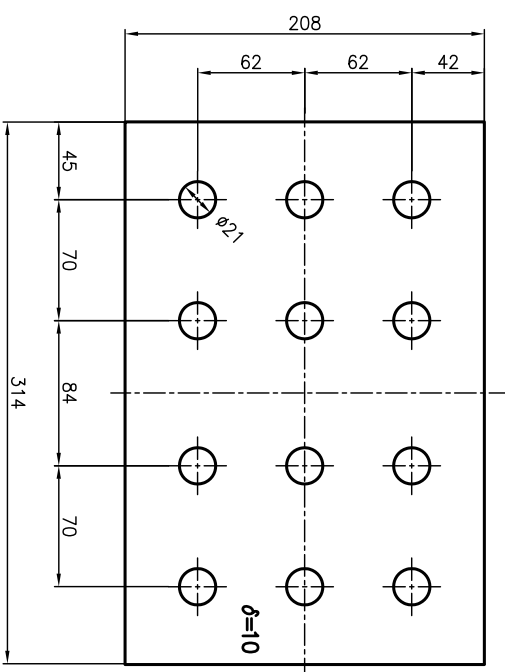
A

B

C

D

E

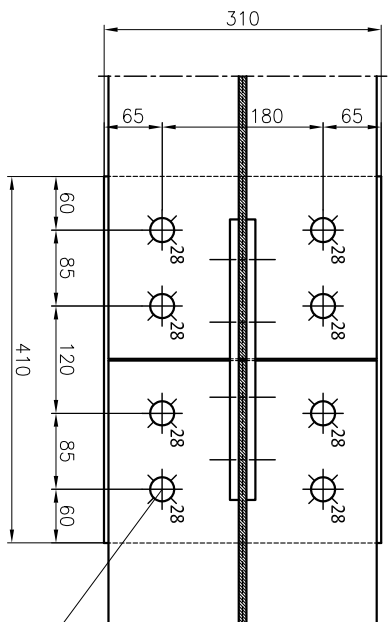
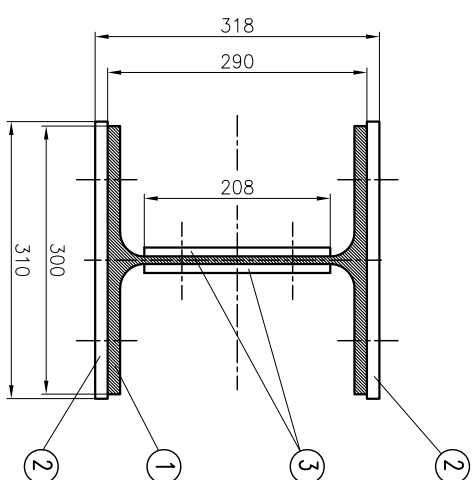
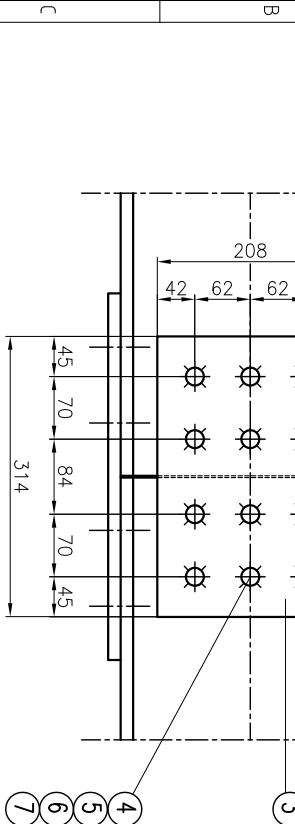
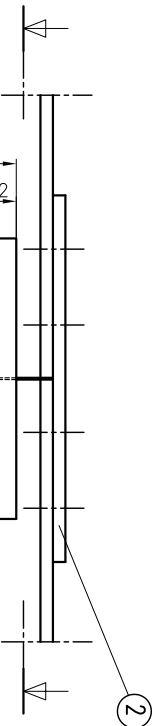


2. 410x310x14 S235 2 OMK 01-00 13,9				
Poz.	Dimenzije	Materijal	Kom	Masa [kg]
	Datum III 2017.	KATEDRA ZA MEHANIZACIJU		
	Crtao Vlada Gašić	MAŠINSKI FAKULTET		
F	Ovjerio			
	Br. crt:	Naziv: PODVEZICA POJASA	Lista	
			1/1	
			R 15	
Br. Napomena	Datum Ime	OMK 01-02	OMK 01-03	PODVEZICA REBRA

3. 314x208x10 S235 2 OMK 01-00 5,1				
Poz.	Dimenzije	Materijal	Kom	Masa [kg]
	Datum III 2017.	KATEDRA ZA MEHANIZACIJU		
	Crtao Vlada Gašić	MAŠINSKI FAKULTET		
F	Ovjerio			
	Br. crt:	Naziv: PODVEZICA REBRA	Lista	
			1/1	
			R 12,5	
Br. Napomena	Datum Ime	OMK 01-02	OMK 01-03	PODVEZICA POJASA

1 2 3 4 5 6 7 8

A



Poz.	Naziv	Kom.	Materijal	Dimenzije	Kom. Ukljupno Masa	Br. crteza/Standard
11	Elastična podloška	16		27		DIN 127
10	Podloška	16		27		SRPS EN ISO 7089
9	Navrtka	16	8	M 27		SRPS EN ISO 4032
8	Zavrtanj	16	8.8	M 27x90		SRPS EN ISO 4014
7	Elastična podloška	12		20		DIN 127
6	Podloška	12		20		DIN 7989
5	Navrtka	12	8	M 20		SRPS EN ISO 4032
4	Zavrtanj	12	8.8	M 20x80		SRPS EN ISO 4014
3	Podvezica rebara	2	S235	314x208x10	5,1	10,2 OMK 01-03
2	Podvezica pojasa	2	S235	410x310x14	13,9	27,8 OMK 01-02
1	Nosač		S235	HEA 300		
Poz.						
Naziv						
Datum III/2017.						
Crtao Vlada Gašić						
Projek Ovetor						
Br. crteza/Standard						
OMK MN-01-00						
MONTAŽNI NASTAVAK						
F 1/1						
F 15						
Br. Napomena						
Datum						
Ime						
1						
2						
3						
4						
5						
6						
7						
8						

KATEDRA ZA MEHANIZACIJU
MAŠINSKI FAKULTET

Naziv:

List

F

F 1/1

F 15

F

E

D

C

B

A